

姓名：左之睿 学号：191300087 邮箱：1710670843@qq.com

为排版美观，将所有题目附图删去

一. 已知周期信号  $x(t)$  的傅里叶级数表示式为  $x(t) = 2 + 3\cos(2t) + 4\sin(2t) + 2\sin(3t + 30^\circ) - \cos(7t + 150^\circ)$ ：

- (1) 求周期信号  $x(t)$  的基波角频率；
- (2) 画出周期信号  $x(t)$  的幅度谱和相位谱。

解：

(1)、分别求  $3\cos(2t)$ ,  $4\sin(2t)$ ,  $2\sin(3t + 30^\circ)$ ,  $\cos(7t + 150^\circ)$  的周期为  $\pi, \pi, \frac{2\pi}{3}, \frac{2\pi}{7}$ ，故基波周期  $T_0$  为最小公倍数  $2\pi$ ，所以基波角频率：

$$\omega_0 = \frac{2\pi}{T_0} = 1$$

(2)、 $x(t) = 2 + 3\cos 2t + \cos 3t + \frac{\sqrt{3}}{2}\cos 7t + 4\sin 2t + \sqrt{3}\sin 3t + \frac{1}{2}\sin 7t$   
由  $X_n = \frac{1}{2}a_n - \frac{1}{2}jb_n$

求得  $X_0 = 2, X_2 = 1.5 - 2j, X_3 = 1 - \sqrt{3}j, X_7 = \frac{\sqrt{3}}{4} - 0.25j$ ，  
单边频谱振幅  $C_n = 2|X_n|$ ，绘制的幅度谱和相位谱如下：

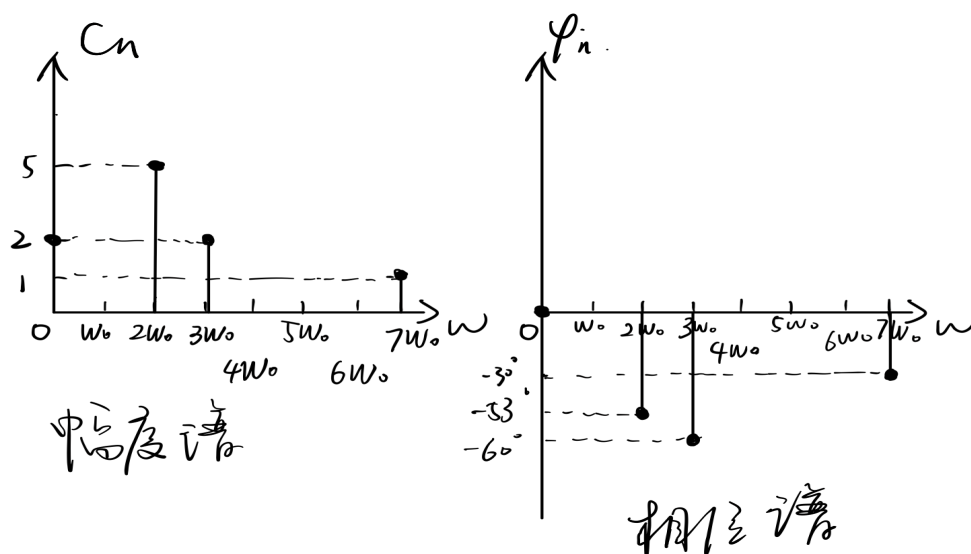


Figure 1: 第一题幅度谱和相位谱

## 二. 已知信号

$$x(t) = \begin{cases} 1 + \cos(t), & |t| \leq \pi \\ 0, & |t| > \pi \end{cases}$$

求该信号的傅里叶变换。

**解：**

$$\begin{aligned} X(jw) &= \int_{-\infty}^{\infty} x(t)e^{-jwt}dt \\ &= \int_{-\pi}^{\pi} (1 + \cos(t))e^{-jwt}dt \\ &= \int_{-\pi}^{\pi} (\cos wt - j\sin wt)dt + \int_{-\pi}^{\pi} \cos t(\cos wt - j\sin wt)dt \end{aligned}$$

第一项中由于  $\sin wt$  为奇函数，故只需要计算  $\cos wt$  在  $(-\pi, \pi)$  上的积分，结果为  $2\frac{\sin \pi w}{w}$

接下来计算第二项  $\int_{-\pi}^{\pi} \cos t(\cos wt - j\sin wt)dt$ ，其中含  $\sin wt$  项为奇函数，在对称区间上积分为 0，故计算  $\int_{-\pi}^{\pi} \cos t \cos wt dt$  即可

$$\begin{aligned} \int_{-\pi}^{\pi} \cos t \cos wt dt &= \int_{-\pi}^{\pi} \frac{1}{2} [\cos(t + wt) + \cos(t - wt)] dt \\ &= \frac{1}{2} \int_{-\pi}^{\pi} \cos((1 + w)t) dt + \frac{1}{2} \int_{-\pi}^{\pi} \cos((1 - w)t) dt \\ &= \frac{\sin((1 + w)\pi)}{1 + w} + \frac{\sin((1 - w)\pi)}{1 - w} \end{aligned}$$

将两项加起来即可得到：

$$\begin{aligned} X(jw) &= 2\frac{\sin \pi w}{w} + \frac{\sin((1 + w)\pi)}{1 + w} + \frac{\sin((1 - w)\pi)}{1 - w} \\ &= 2\pi Sa(w\pi) + \pi Sa((1 - w)\pi) + \pi Sa((1 + w)\pi) \end{aligned}$$

三. 已知  $x_1(t)$  和  $x(t)$  的波形图如图所示,  $x_1(t)$  的傅里叶变换为  $X_1(j\omega) = 2T \cdot \text{Sa}(\omega T)$ , 试利用傅里叶变换的尺度变换、位移和线性性质求  $x(t)$  的傅里叶变换。

**解:**

$x(t) = x_1(2t - T) - x_1(2t + T)$ , 故

$$X(jw) = \mathcal{F}[(x_1(2t - T))] - \mathcal{F}[(x_1(2t + T))]$$

分别求这两项

$$\begin{aligned} \mathcal{F}[(x_1(2t - T))] &= \mathcal{F}[(x_1(2(t - 0.5T)))] \\ &= \frac{1}{2} X_1\left(\frac{jw}{2}\right) e^{-\frac{jwT}{2}} \end{aligned}$$

$$\begin{aligned} \mathcal{F}[(x_1(2t + T))] &= \mathcal{F}[(x_1(2(t + 0.5T)))] \\ &= \frac{1}{2} X_1\left(\frac{jw}{2}\right) e^{\frac{jwT}{2}} \end{aligned}$$

故

$$\begin{aligned} X(jw) &= \frac{1}{2} X_1\left(\frac{jw}{2}\right) e^{-\frac{jwT}{2}} - \frac{1}{2} X_1\left(\frac{jw}{2}\right) e^{\frac{jwT}{2}} \\ &= T \text{Sa}\left(\frac{wT}{2}\right) (e^{-\frac{jwT}{2}} - e^{\frac{jwT}{2}}) \end{aligned}$$

四. 求图所示对称周期矩形信号的傅里叶级数，三角形式和指数形式。

**解：**

1. 三角形式：

$$a_0 = \frac{1}{T} \int_{-0.5T}^{0.5T} x(t) dt = 0$$

$$a_n = \frac{2}{T} \int_{-0.5T}^{0.5T} x(t) \cos(n\omega t) dt = 0$$

$$b_n = \frac{2}{T} \int_{-0.5T}^{0.5T} x(t) \sin(n\omega t) dt = \frac{2E}{Tn\omega} - \frac{2E}{Tn\omega} \cos(0.5n\omega T)$$

将  $T = \frac{2\pi}{\omega}$  代入，得到  $b_n = \frac{E}{n\pi} - \frac{E}{n\pi} \cos(n\pi)$

故三角形式的傅里叶级数为  $x(t) = \sum_{n=1}^{\infty} (\frac{E}{n\pi} - \frac{E}{n\pi} \cos(n\pi)) \sin(n\omega t)$

2. 指数形式：

$$X_n = \frac{1}{2}a_n - \frac{j}{2}b_n = \frac{j}{2}(\frac{E}{n\pi} \cos(n\omega) - \frac{E}{n\pi})$$

注意到  $n = 0$  时分母变成 0，故  $X_0 = \frac{1}{T} \int_{-0.5T}^{0.5T} x(t) dt = 0$

故指数形式的傅里叶级数为

$$x(t) = \sum_{n=-\infty \text{ 且 } n \neq 0}^{\infty} \frac{j}{2}(\frac{E}{n\pi} \cos(n\omega) - \frac{E}{n\pi}) e^{jn\omega t}$$

五. 求图所示周期锯齿信号的指数形式傅里叶级数，并大致画出频谱图。

解：

$$\begin{aligned}
 X_n &= \frac{1}{T} \int_0^T x(t) e^{-jn\omega t} dt \\
 &= \frac{1}{T} \int_0^T \left(-\frac{E}{T}t + E\right) e^{-jn\omega t} dt \\
 &= -\frac{E}{T^2} \int_0^T t e^{-jn\omega t} dt + \frac{E}{T} \int_0^T e^{-jn\omega t} dt \\
 &= -\frac{E}{T^2} \left(-\frac{T}{jn\omega} e^{-jn\omega T}\right)
 \end{aligned}$$

代入  $\omega T = 2\pi$  得到  $X_n = \frac{E}{jn2\pi} e^{-j \cdot 2n\pi} = \frac{E}{jn2\pi}$

注意到  $n = 0$  时分母为 0，故  $X_0 = \frac{1}{T} \int_0^T x(t) dt = \frac{E}{2}$

所以指数形式傅里叶级数为

$$x(t) = \frac{E}{2} + \sum_{n=-\infty, n \neq 0}^{\infty} \frac{E}{jn2\pi} e^{jn\omega t}$$

频谱图如下：

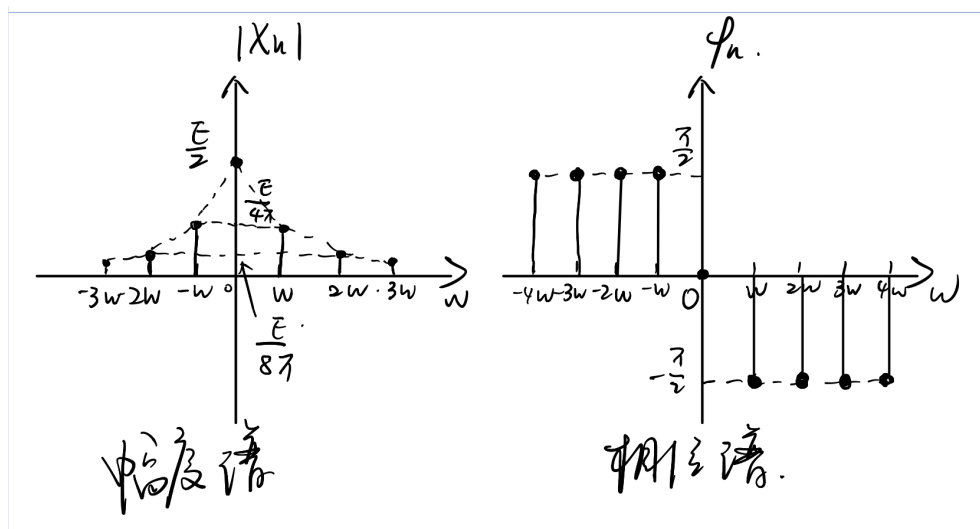


Figure 2: 第五题频谱图

六. 求图所示锯齿脉冲与单周正弦脉冲的傅里叶变换。

解:

(a)

$$\begin{aligned}
 X(jw) &= \int_{-0.5T}^{0.5T} x(t)e^{-jw t} dt \\
 &= \int_{-0.5T}^{0.5T} \frac{2E}{T} t e^{-jw t} dt \\
 &= \frac{2E}{T} \cdot \left(-\frac{1}{jw}\right) \left( t e^{-jw t} - \frac{\sin w t}{w} + j \frac{\cos w t}{w} \right) \Big|_{t_1=-0.5T}^{t_2=0.5T} \\
 &= \frac{4E \sin 0.5wT}{T j w^2} - \frac{2E \cos 0.5wT}{j w} \\
 &= -\frac{2E}{j w} \cos 0.5wT + \frac{2E}{j w} \text{Sa}(0.5wT)
 \end{aligned}$$

注意  $w = w_0$  时分母为 0, 此时  $X(jw) = X(0) = 0$

(b)

$$\begin{aligned}
 X(jw) &= \int_0^T x(t)e^{-jw t} dt \\
 &= \int_0^T \left(-\frac{E}{T}t + E\right) e^{-jw t} dt \\
 &= -\frac{E}{T} \int_0^T t e^{-jw t} dt + E \int_0^T e^{-jw t} dt \\
 &= -\frac{E}{T} \cdot \left(-\frac{1}{jw}\right) \left( t e^{-jw t} - \frac{\sin w t}{w} + j \frac{\cos w t}{w} \right) \Big|_{t_1=0}^{t_2=T} + E \left( \frac{\sin w t}{w} + j \frac{\cos w t}{w} \right) \Big|_{t_1=0}^{t_2=T} \\
 &= \frac{E}{T w^2} e^{jw T} - \frac{E}{T w^2} - \frac{E j}{w}
 \end{aligned}$$

注意  $w = 0$  时分母为 0, 此时  $X(jw) = X(0) = \frac{ET}{2}$

(c) 记  $w_0 = \frac{2\pi}{T}$

$$\begin{aligned}
 X(jw) &= \int_0^T x(t)e^{-jwt} dt \\
 &= \int_0^T E \sin(w_0 t) e^{-jwt} dt \\
 &= E \frac{-\frac{1}{w_0} e^{-jwt} \cos(w_0 t) - \frac{jw}{w_0^2} e^{-jwt} \sin(w_0 t)}{1 - \frac{w^2}{w_0^2}} \Big|_{t_1=0}^{t_2=T} \\
 &= \frac{w_0 E}{w_0^2 - w^2} (1 - e^{-jwt})
 \end{aligned}$$

注意  $w = w_0$  时分母为 0, 此时  $X(jw) = X(jw_0) = \frac{ET}{2j}$

(d) 记  $w_0 = \frac{2\pi}{T}$

$$\begin{aligned}
 X(jw) &= \int_{-0.5T}^{0.5T} x(t)e^{-jwt} dt \\
 &= \int_{-0.5T}^{0.5T} E \sin(w_0 t) e^{-jwt} dt \\
 &= E \frac{-\frac{1}{w_0} e^{-jwt} \cos(w_0 t) - \frac{jw}{w_0^2} e^{-jwt} \sin(w_0 t)}{1 - \frac{w^2}{w_0^2}} \Big|_{t_1=-0.5T}^{t_2=0.5T} \\
 &= \frac{w_0 E}{w_0^2 - w^2} (e^{-0.5jwT} - e^{0.5jwT}) \\
 &= \frac{2jw_0 E}{w^2 - w_0^2} \sin(0.5wT)
 \end{aligned}$$

注意  $w = w_0$  时分母为 0, 此时  $X(jw) = X(jw_0) = \frac{ET}{2j}$

七. 分别求图所示  $X(j\omega)$  的傅里叶逆变换。

**解:**

$$(a) X(j\omega) = |X(j\omega)|e^{j\phi(\omega)} = Ae^{j\omega t_0}$$

$$\begin{aligned} x(t) &= \mathcal{F}^{-1}[X(j\omega)] = \frac{1}{2\pi} \int_{-w_0}^{w_0} X(j\omega) e^{j\omega t} d\omega \\ &= \frac{A}{\pi} \cdot \frac{\sin w_0 t}{t_0 + t} \\ &= \frac{Aw_0}{\pi} \text{Sa}(w_0(t + t_0)) \end{aligned}$$

$$(b) X(j\omega) = |X(j\omega)|e^{j\phi(\omega)} = Ae^{j\frac{\pi}{2}\text{sgn}(\omega)}$$

$$\begin{aligned} x(t) &= \mathcal{F}^{-1}[X(j\omega)] = \frac{1}{2\pi} \int_{-w_0}^{w_0} X(j\omega) e^{j\omega t} d\omega \\ &= \frac{A}{2\pi} \int_{-w_0}^{w_0} e^{j\frac{\pi}{2}\text{sgn}(\omega)} e^{j\omega t} d\omega \\ &= \frac{A}{2\pi} \left( \int_{-w_0}^0 e^{-j\frac{\pi}{2}} e^{j\omega t} d\omega + \int_0^{w_0} e^{j\frac{\pi}{2}} e^{j\omega t} d\omega \right) \end{aligned}$$

注意到  $e^{j\frac{\pi}{2}} = \cos(\frac{\pi}{2}) + j\sin(\frac{\pi}{2}) = j$ ,  $e^{-j\frac{\pi}{2}} = -j$   
故

$$\begin{aligned} x(t) &= \frac{A}{2\pi} \left( -j \int_{-w_0}^0 e^{j\omega t} d\omega + j \int_0^{w_0} e^{j\omega t} d\omega \right) \\ &= \frac{jA}{2\pi} \left( \frac{j - \sin w_0 t - j\cos w_0 t}{t} + \frac{\sin w_0 t - j\cos w_0 t + j}{t} \right) \\ &= \frac{jA}{\pi} \left( \frac{j - j\cos w_0 t}{t} \right) \\ &= \frac{A}{\pi t} (\cos w_0 t - 1) \end{aligned}$$



八. 利用微分定理求图所示梯形脉冲的傅里叶变换，并大致画出  $\tau = 2\tau_1$  情况下该脉冲的频谱图。

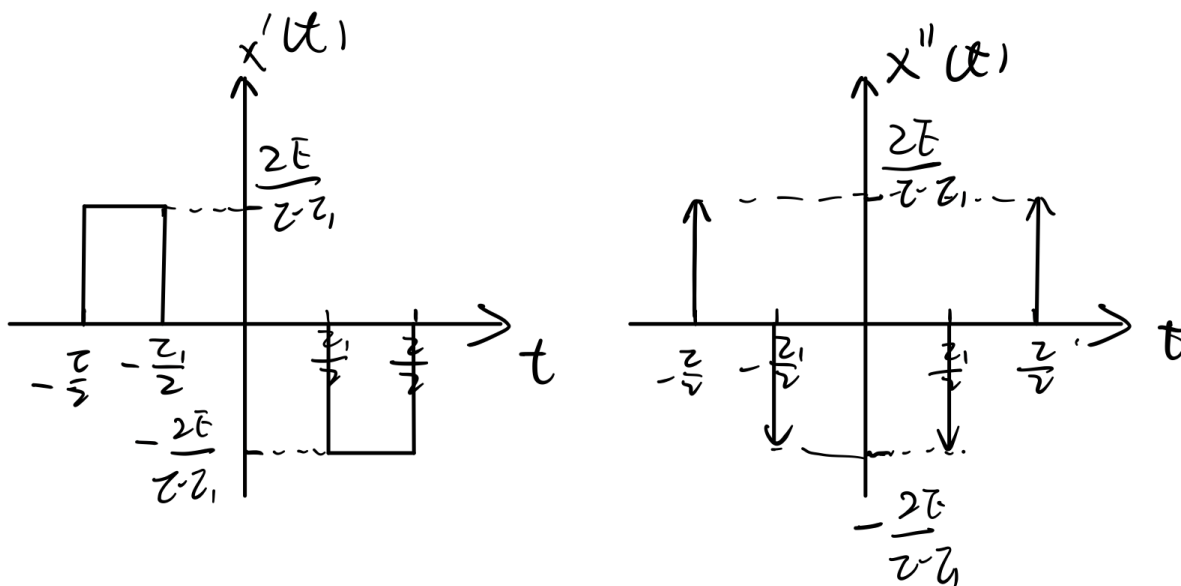


Figure 3: 求导图像

解：

对  $x(t)$  分别求一、二阶导数，图像如上  
由微分定理，

$$\mathcal{F}\left[\frac{d^2x(t)}{dt^2}\right] = (j\omega)^2 X(j\omega) = -\omega^2 X(j\omega)$$

由于  $\mathcal{F}[\delta(t)] = 1$ ，故

$$\mathcal{F}\left[\frac{d^2x(t)}{dt^2}\right] = \frac{2E}{\tau - \tau_1} e^{\frac{j\omega\tau}{2}} + \frac{2E}{\tau - \tau_1} e^{-\frac{j\omega\tau}{2}} - \frac{2E}{\tau - \tau_1} e^{\frac{j\omega\tau_1}{2}} - \frac{2E}{\tau - \tau_1} e^{-\frac{j\omega\tau_1}{2}}$$

化简得

$$\begin{aligned}
 X(j\omega) &= -\frac{1}{\omega^2} \cdot \frac{2E}{\tau - \tau_1} (e^{\frac{j\omega\tau}{2}} + e^{-\frac{j\omega\tau}{2}} - e^{\frac{j\omega\tau_1}{2}} - e^{-\frac{j\omega\tau_1}{2}}) \\
 &= -\frac{1}{\omega^2} \cdot \frac{4E}{\tau - \tau_1} (\cos \frac{\omega\tau}{2} - \cos \frac{\omega\tau_1}{2}) \\
 &= \frac{1}{\omega^2} \cdot \frac{8E}{\tau - \tau_1} \sin(\frac{\omega(\tau + \tau_1)}{4}) \sin(\frac{\omega(\tau - \tau_1)}{4}) \\
 &= \frac{E(\tau + \tau_1)}{2} \text{Sa}(\frac{\omega(\tau + \tau_1)}{4}) \text{Sa}(\frac{\omega(\tau - \tau_1)}{4})
 \end{aligned}$$

$$\tau = 2\tau_1 \text{ 时, } X(j\omega) = \frac{3E\tau_1}{2} \text{Sa}(\frac{3\omega\tau_1}{4}) \text{Sa}(\frac{\omega\tau_1}{4})$$

频谱图如下:

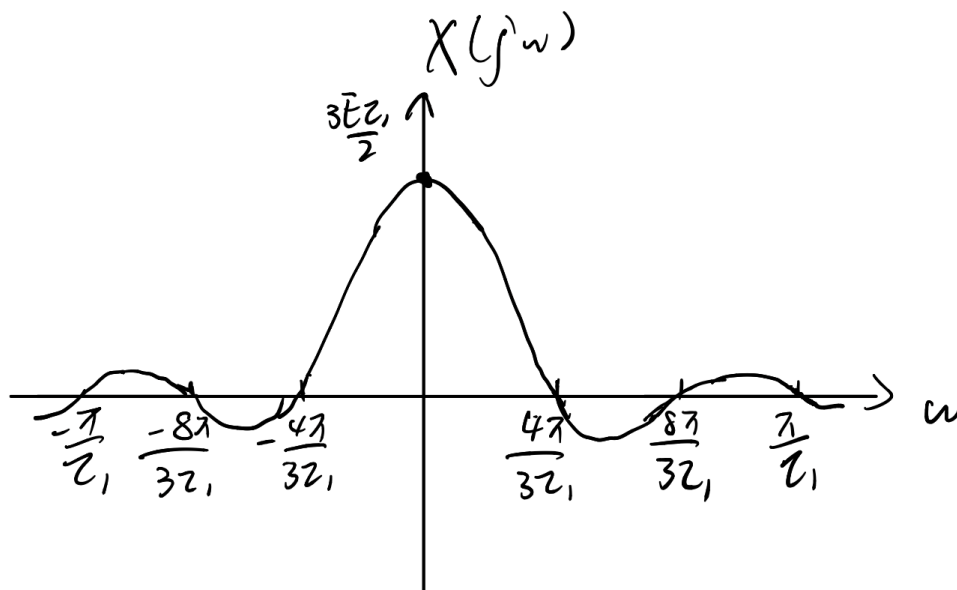


Figure 4: 第八题频谱图

九. 若已知  $\mathcal{F}[x(t)] = X(j\omega)$ , 利用傅里叶变换的性质确定下列信号的傅里叶变换。

- (1)  $tx(2t)$
- (2)  $(t-2)x(t)$
- (3)  $(t-2)x(-2t)$
- (4)  $t \frac{dx(t)}{dt}$
- (5)  $x(1-t)$
- (6)  $(1-t)x(1-t)$
- (7)  $x(2t-5)$

**解:**

(1)、记  $x_1(t) = x(2t)$ ,  $X_1(j\omega) = \mathcal{F}[x_1(t)]$

由尺度变换特性,  $X_1(j\omega) = \frac{1}{2}X(\frac{j\omega}{2})$

再由频域微分特性,  $\mathcal{F}[tx_1(t)] = j \cdot \frac{dX_1(j\omega)}{d\omega}$

化简可得  $\mathcal{F}[tx(2t)] = \frac{1}{2} \cdot j \cdot \frac{dX(\frac{j\omega}{2})}{d\omega}$

(2)、由线性性,  $\mathcal{F}[(t-2)x(t)] = \mathcal{F}[tx(t)] - 2\mathcal{F}[x(t)]$

由频域微分特性,  $\mathcal{F}[tx(t)] = j \frac{dX(j\omega)}{d\omega}$

化简可得  $\mathcal{F}[(t-2)x(t)] = j \frac{dX(j\omega)}{d\omega} - 2X(j\omega)$

(3)、由线性性,  $\mathcal{F}[(t-2)x(-2t)] = \mathcal{F}[tx(-2t)] - 2\mathcal{F}[x(-2t)]$

化简得  $\mathcal{F}[(t-2)x(-2t)] = \frac{1}{2} \cdot j \cdot \frac{dX(-\frac{j\omega}{2})}{d\omega} - X(-\frac{j\omega}{2})$

(4)、由时域微分特性  $\mathcal{F}[\frac{dx(t)}{dt}] = j\omega \cdot X(j\omega)$

记  $x'(t) = \frac{dx(t)}{dt}$ ,  $X_1(j\omega) = \mathcal{F}[x'(t)] = j\omega \cdot X(j\omega)$

故  $\mathcal{F}[tx'(t)] = j \cdot \frac{dX_1(j\omega)}{d\omega}$

化简得到  $\mathcal{F}[t \frac{dx(t)}{dt}] = -X(j\omega) - \omega \frac{dX(j\omega)}{d\omega}$

(5)、先沿  $x(t)$  轴翻转, 再平移, 故  $\mathcal{F}[x(1-t)] = X(-j\omega)e^{-j\omega}$

(6)、令  $x_1(t) = x(1-t)$ , 所求变换为  $\mathcal{F}[x_1(t)] - \mathcal{F}[tx_1(t)]$

先求  $X_1(j\omega) = \mathcal{F}[x_1(t)] = X(-j\omega)e^{-j\omega}$

故  $\mathcal{F}[tx_1(t)] = j \cdot \frac{dX_1(j\omega)}{d\omega}$

化简整理得  $\mathcal{F}[(1-t)x(1-t)] = -j \cdot e^{-j\omega} \cdot \frac{dX(-j\omega)}{d\omega}$

(7)、先平移五个单位, 再做压缩变换, 故  $\mathcal{F}[x(2t-5)] = \frac{1}{2}X(j\frac{\omega}{2})e^{-\frac{5j\omega}{2}}$

# 编程题报告

## Problem 1

1.1 当  $\tau$  趋向于 0 时, 信号变为幅度为  $A$ , 周期为  $T_0$  的冲激信号

1.2 先计算傅里叶级数

$$\begin{aligned} X_n &= \frac{1}{T_0} \int_{-0.5T_0}^{0.5T_0} x(t) e^{-jn\omega t} dt \\ &= \frac{1}{T_0} \int_{-0.5\tau}^{0.5\tau} A e^{-jn\omega t} dt \\ &= \frac{A\tau}{T_0} \text{Sa}(0.5n\omega\tau) \end{aligned}$$

$$\text{故 } x(t) = \sum_{n=-\infty}^{\infty} X_n e^{jn\omega t} = \frac{A\tau}{T_0} \text{Sa}(0.5n\omega\tau)$$

两边同时作傅里叶变换得到

$$X(j\omega) = \sum_{n=-\infty}^{\infty} X_n \cdot 2\pi\delta(\omega - n\frac{2\pi}{T_0}) = \sum_{n=-\infty}^{\infty} \frac{A\tau}{T_0} \text{Sa}(0.5n\omega\tau) \cdot 2\pi\delta(\omega - n\frac{2\pi}{T_0})$$

1.3 取  $A = 1, T_0 = 1\text{ms}, \tau = \frac{T_0}{10} = 0.1\text{ms}$  绘图结果如下:

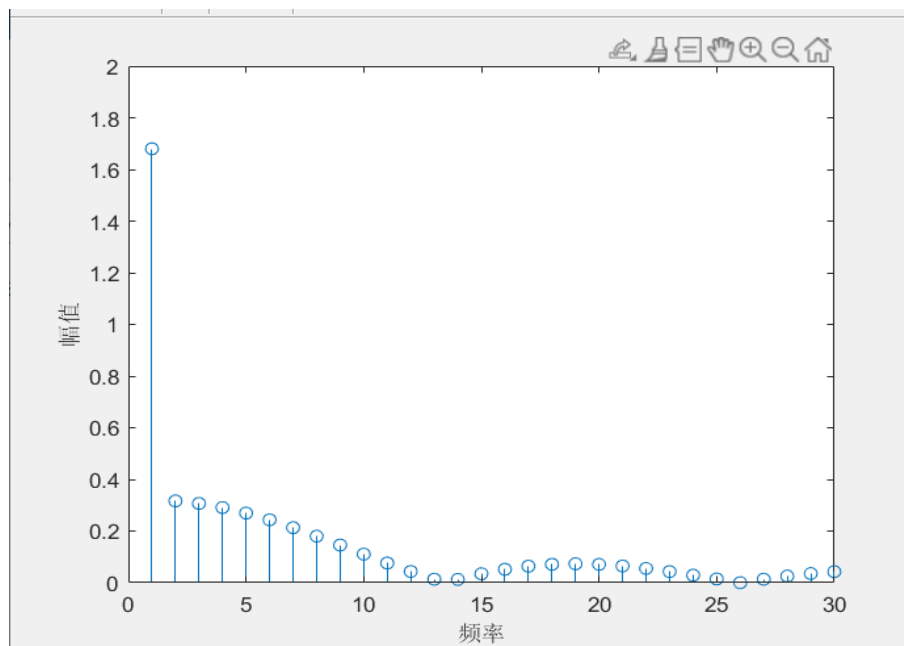


Figure 5: 编程题一频谱图

首先，我们知道冲激信号的傅里叶变换依然是冲激信号，对于  $\tau \rightarrow 0$  的情况，在图中可见只在零点附近振幅较大，之后快速衰减到趋近于 0，可以粗略视为冲激信号，这也正好印证了 1.1 的回答。

## Problem 2

### 2.1

(1). 随着  $D$  的增大,  $mse$  不断减小。我选取  $D$  从 5000 到 100000, 以 5000 为间隔绘制了  $D$  与对应的  $MSE$  的图像 (用折线连接), 其结果也是符合描述的

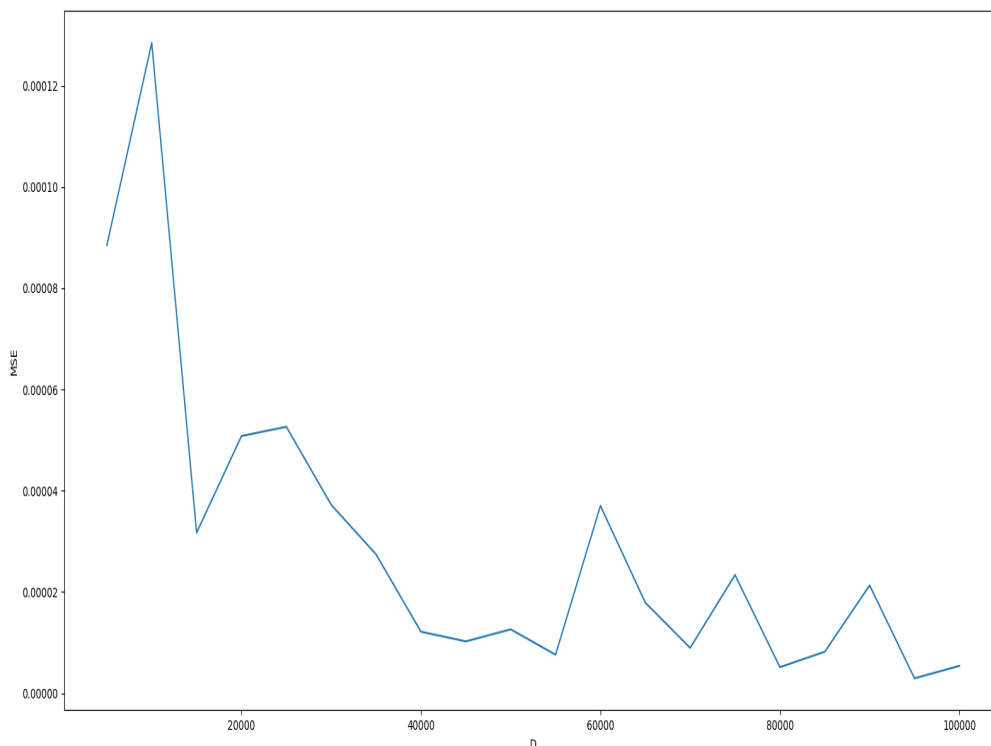


Figure 6: D-MSE 图像

(2).  $D$  对 RBF kernel 的速度没有影响, 因为 RBF kernel 使用高斯函数不涉及采样过程, 对 RFF kernel 的速度有影响, 随着采样次数  $D$  的增加, RFF kernel 的运行时间自然会增加。

如下是在  $D=500$  时取  $x\_dim=100, 200, 300, 400, 500, 600, 700, 800, 900$  时两个  $kernel\_fn$  的运行时间。

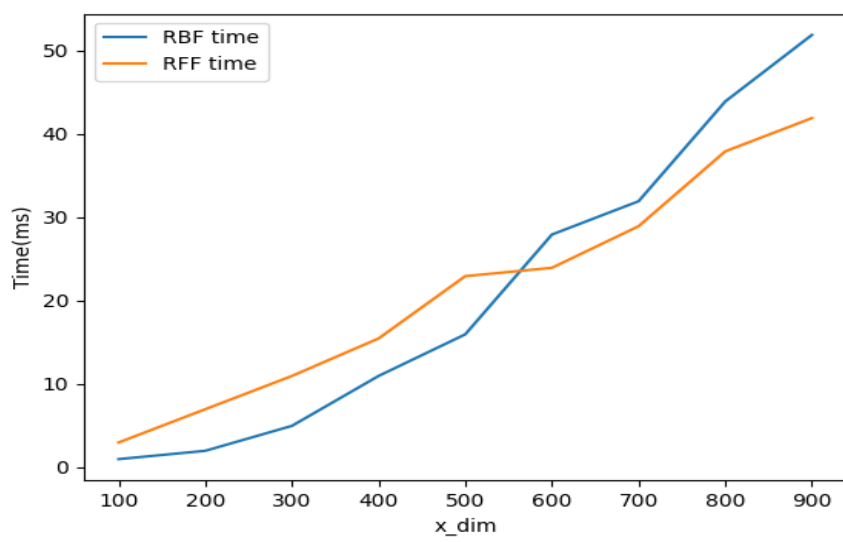


Figure 7: x dim-Time

可见，RFF 确实能够提高核函数的计算速度, 精度上损失也较小。

## 2.2

(1).linear kernel 和 RBF kernel 的划分结果分别如下图所示。

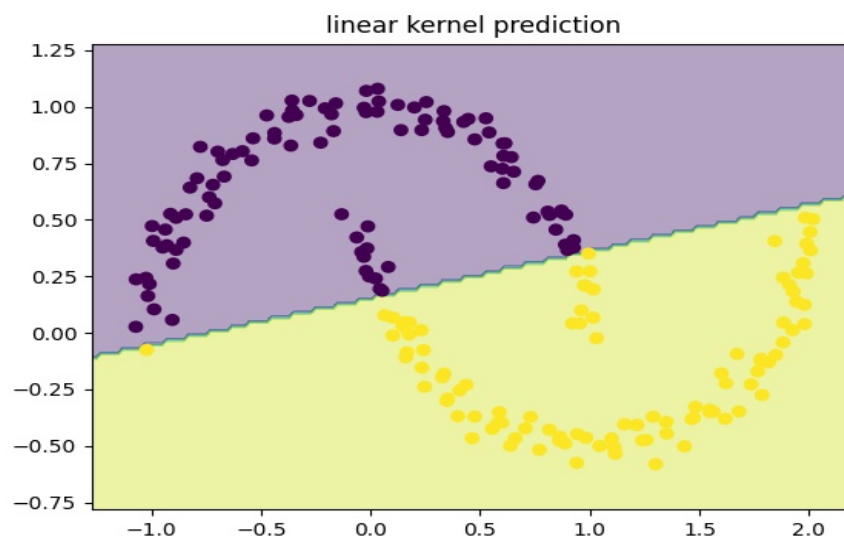


Figure 8: linear kernel 效果图

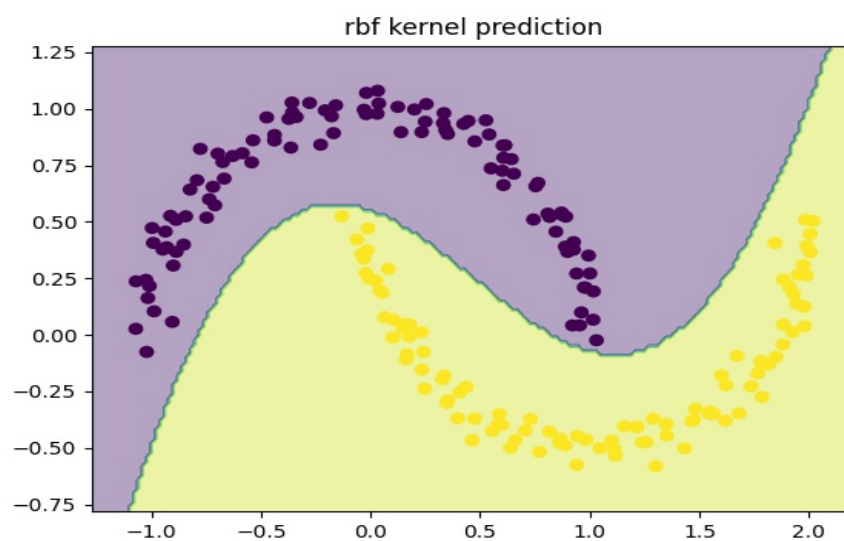


Figure 9: RBF kernel 效果图

由图片可见，RBF kernel 明显效果更加优异



(2). 下图是 RFF kernel 进行分类的效果图 (取  $D=500$ )，可见，由于 RFF kernel 本质上就是对 RBF kernel 的近似，这二者划分出来的效果相似度很高，并且都显著优于 linear kernel

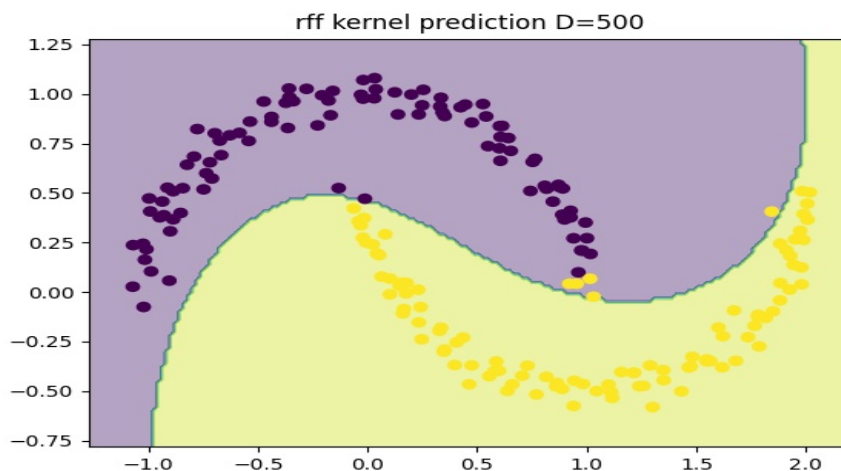


Figure 10: RFF kernel 效果图

(3). 分别取  $D=500$ , 5000, 50000 进行划分，得到的图片如下：

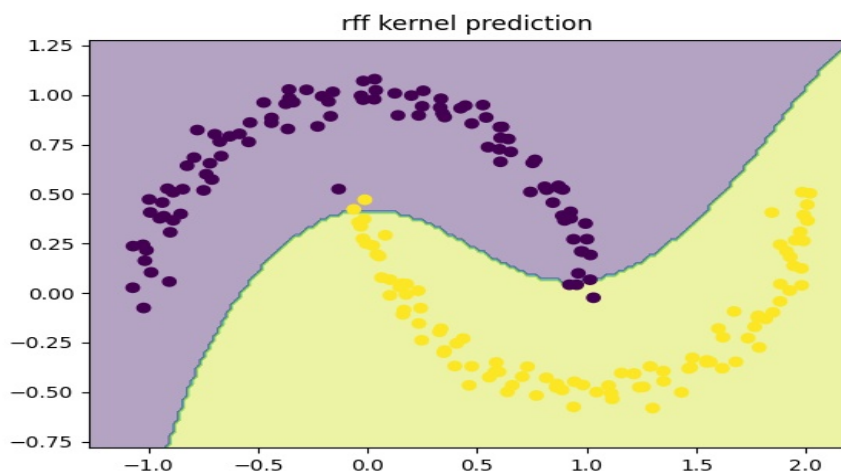


Figure 11:  $D=500$  时 RFF kernel 效果图

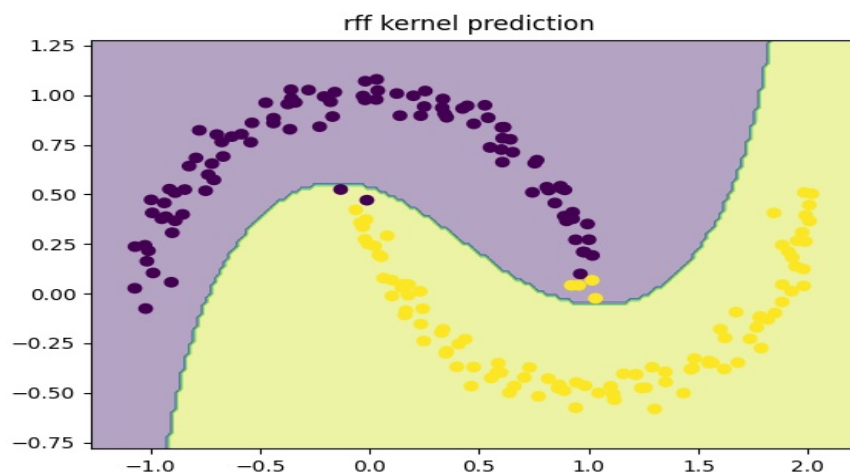


Figure 12:  $D=5000$  时 RFF kernel 效果图

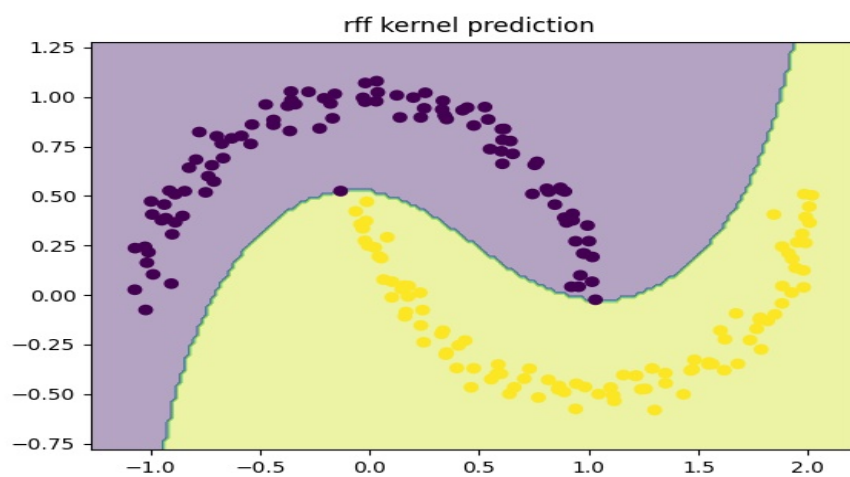


Figure 13:  $D=50000$  时 RFF kernel 效果图

可见， $D$  越大，决策边界越准确。

当  $D$  很大时，需要花费更多的时间去做采样和矩阵乘法，自然会耗时更长

## 2.3

(1). 图像如下 (D=500)

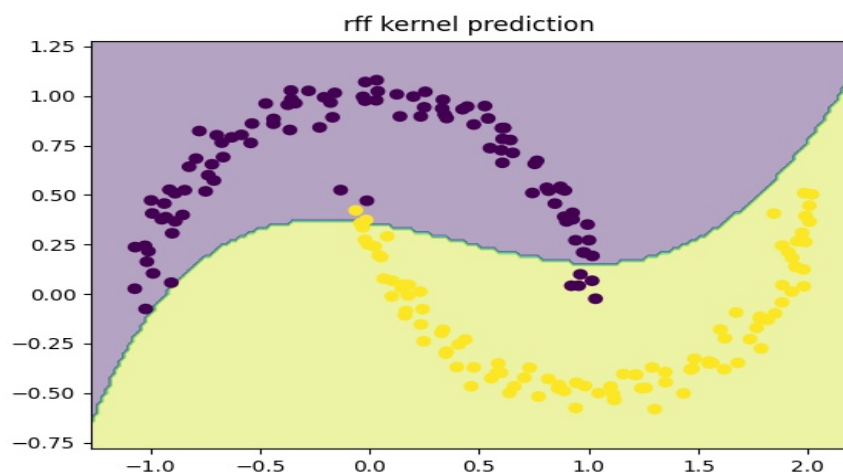


Figure 14: 更换 linear 之后的 RFF

比没使用 `sklearn.svm.LinearSVC` 的时候略有提升 (与 Figure11 相比多分对了 1 个样本), 正确率很接近 RBF 了

(2). 固定 D=10000, 重复了 50 次分类, RBF 和 RFF 的 mse 图像如下:

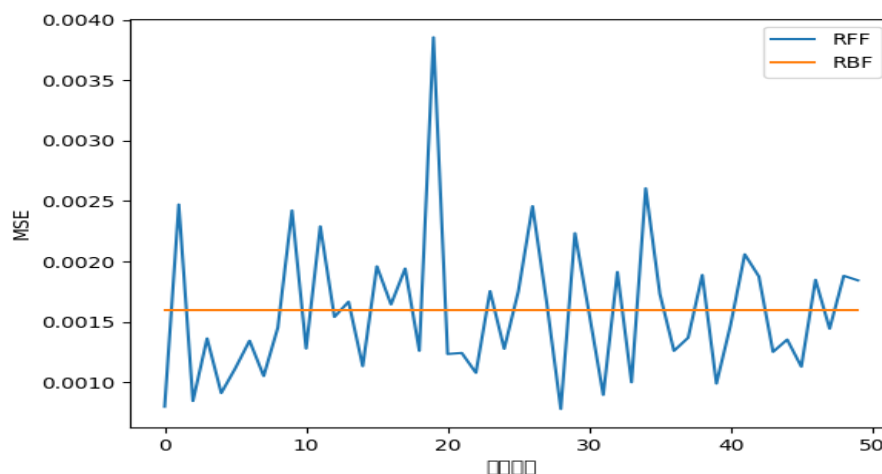


Figure 15: RFF,RBF 的 MSE 对比

可见, 二者性能相近, 均优于线性核

(3). 这一问中我不太明白该从何处计时算是训练、推理, 因此无法给出确切的报告, 不过关于速度差距的原因, 我的猜测如下:

样本较多时, RBF 计算核矩阵的开销要大于 RFF, 这使得 RBF 的

训练时间更长。

至于推理用时，个人猜测可能 RFF 略有优势，差距并不是很明显，因为核矩阵已经计算出来了，分类过程复杂度二者相近